

**Triode mit Edelgas- und Quecksilberdampfzufüllung**

Triode, inert gas and mercury vapour filled

Triode à gaz rare et à vapeur de mercure

Triodo llenado con gases nobles y vapor de mercurio

**Glasausführung**

Glass type

Exécution verre

Tipo de vidrio

**Kathode**

Cathode

Cathode

Cátodo

**direkt geheizt**

directly heated

à chauffage direct

caldeado directamente

**Montageanordnung: senkrecht mit dem Sockel nach unten**

Mounting Position: Vertical, base down

Disposition de montage: verticale avec socle dirigé vers le bas

Para montaje: vertical con portaválvula hacia abajo

**Gewicht**

Approx. net weight

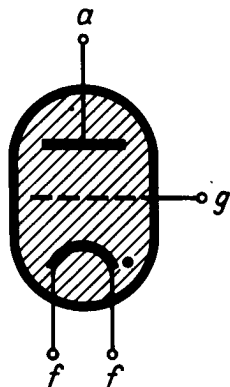
Poids

Peso

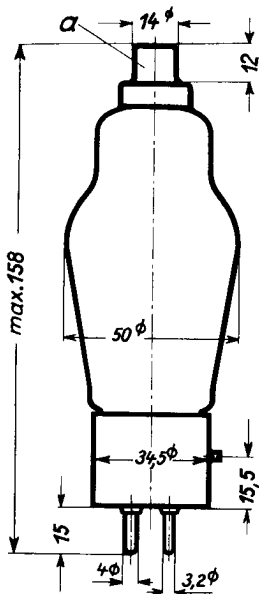
0,08 kg

0,18 lbs

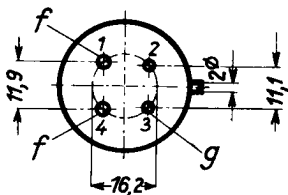
- a = Anode  
Anode  
Anode  
Anodo
- g = Steuergitter  
Control grid  
Grille de réglage  
Rejilla de mando
- f = Heizung  
Filament  
Filament  
Filamento



Abmessungen }  
 Dimensions } mm  
 Dimensiones }



Sockelansicht von unten  
 Bottom view of socket  
 Socle vu du bas  
 Portaválvula vista desde abajo



**Freie Kontakte der Fassung dürfen nicht als Stützpunkte für Schaltmittel benutzt werden.**

Free socket contacts must not be used for supporting any circuitry.

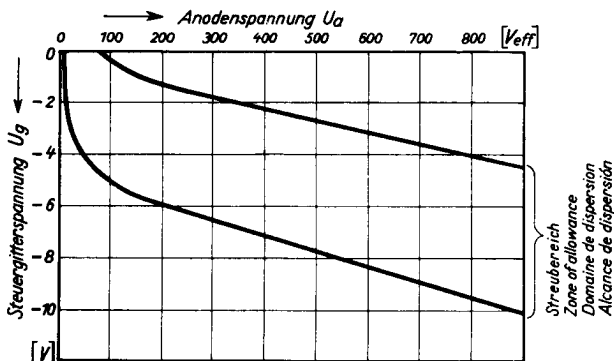
Les contacts libres de la douille ne doivent pas servir de points d'appui pour l'appareillage de connection.

Los contactos libres de los portalámparas no deben ser empleados como puntos de apoyo para elementos de conexión.

**Technische Werte**  
**Technical data**  
**Caractéristiques techniques**  
**Datos técnicos**

<b>Heizspannung</b> Filament voltage Tension de chauffage Tensión de caldeo	}	$U_f$ 2,5 V
<b>Heizstrom</b> Filament current Courant de chauffage Corriente de caldeo	}	ca. abt. env. aprox. $J_f$ 7 A
<b>Toleranz der Heizspannung</b> Max. permissible filament voltage fluctuations Fluctuation admissible de la tension de chauffage Tolerancia de la tensión de caldeo	}	max. $\pm 5\%$
<b>Anheizzeit</b> Cathode-heating time Durée de chauffage Tiempo de precaldeo	}	$t_f$ min. 30 sec.
<b>Anodenspannung (Scheitelwert)</b> Anode voltage (crest value) Tension anodique (valeur de crête) Tensión anódica (valor cresta)	}	$U_a$ max. 1,25 kV
<b>Sperrspannung (Scheitelwert)</b> Inverse voltage (crest value) Tension d'arrêt (valeur de crête) Tensión de bloqueo (valor cresta)	}	$U_{inv.}$ max. 1,25 kV
<b>Anodenstrom (Scheitelwert)</b> Anode current (crest value) Courant anodique (valeur de crête) Corriente anódica (valor cresta)	}	$J_{max.}$ 6 A
<b>Anodenstrom (Mittelwert)</b> Anode current (average) Courant anodique (valeur moyenne) Corriente anódica (valor medio)	}	$J_a$ max. 1,5 A
<b>Steuergitterspannung bei gesperrter Röhre (Scheitelwert)</b> Negative control grid bias of non-conducting tube (crest value) Tension de grille régulatrice pour tube non allumé (valeur de crête) Tensión de rejilla de mando con válvua no encendida (valor cresta)	}	$U_g$ max -125 V

<b>Steuergitterstrom (Scheitelwert)</b> Control grid current (crest value) Courant de grille (valeur de crête) Corriente de rejilla (valor cresta)	$\left. \begin{array}{l} \\ \\ \\ \end{array} \right\} \hat{i}_g \text{ max. } 0,05 \text{ A}$
<b>Steuergitterstrom (Mittelwert)</b> Control grid current (average) Courant de grille (valeur moyenne) Corriente de rejilla (valor medio)	$\left. \begin{array}{l} \\ \\ \\ \end{array} \right\} I_g \text{ max. } 0,01 \text{ A}$
<b>Gitterwiderstand</b> Max. grid resistance Résistance de grille Resistencia de rejilla	$\left. \begin{array}{l} \\ \\ \\ \end{array} \right\} R_g \text{ max. } 100 \text{ k } \Omega$
<b>Spannungsabfall an der gezündeten Röhre</b> Arc drop Chute de tension Caída de tensión	$\left. \begin{array}{l} \\ \\ \\ \end{array} \right\} U_B \quad 15 \text{ V}$
<b>Integrationszeit</b> Integration time Temps d'intégration Tiempo de integración	$\left. \begin{array}{l} \\ \\ \\ \end{array} \right\} \tau \text{ max. } 15 \text{ sec.}$
<b>Jonisationszeit</b> Ionisation time Temps d'ionisation Tiempo de ionización	$\left. \begin{array}{l} \\ \\ \\ \end{array} \right\} t_i \quad 10 \mu \text{ sec.}$
<b>Freiwerdzeit</b> Recovery time Temps de recouvrement Tiempo de recobro	$\left. \begin{array}{l} \text{bei} \\ \text{at} \\ \text{à} \\ \text{en} \end{array} \right\} \begin{array}{l} U_g = - 10 \text{ V} \\ U_g = - 100 \text{ V} \end{array} \quad \left. \begin{array}{l} t_r \\ t_r \end{array} \right\} \begin{array}{l} 400 \mu \text{ sec.} \\ 100 \mu \text{ sec.} \end{array}$
<b>Gitteranoden-Kapazität</b> Grid-anode capacity Capacité d'anode de grille Capacidad del ánodo de rejilla	$\left. \begin{array}{l} \\ \\ \\ \end{array} \right\} C_{ag} \quad \begin{array}{l} 3,6 \text{ pF} \\ (\mu\mu\text{F}) \end{array}$
<b>Eingangs-Kapazität</b> Grid-filament capacity Capacité d'entrée Capacidad rejilla filamento	$\left. \begin{array}{l} \\ \\ \\ \end{array} \right\} C_g \quad \begin{array}{l} 5 \text{ pF} \\ (\mu\mu\text{F}) \end{array}$
<b>Ausgangs-Kapazität</b> Anode-filament capacity Capacité de sortie Capacidad ánodo-filamento	$\left. \begin{array}{l} \\ \\ \\ \end{array} \right\} C_a \quad \begin{array}{l} 0,2 \text{ pF} \\ (\mu\mu\text{F}) \end{array}$
<b>Umgebungstemperatur</b> Ambient temperature Température ambiante Temperatura de ambiente	$\left. \begin{array}{l} \\ \\ \\ \end{array} \right\} \begin{array}{l} \text{min. } -10^\circ \text{ C} \\ \text{max. } +45^\circ \text{ C} \end{array}$



Zündkennlinienbereich bei einer großen Zahl von Röhren gemessen. Zündkennlinie stellt Steuergitterspannung  $U_g$  in Abhängigkeit von der Anodenwechselspannung  $U_a$  (Effektivwert) am Zündpunkt dar.

Band of ignition characteristics as determined from measurements of a multitude of tubes.

Breakdown characteristic presents grid potential  $U_g$  as function of anode voltage (effective)  $U_a$  at firing point.

Domaine des caractéristiques d'allumage d'eterminé sur un grand nombre de tubes. La caractéristique d'allumage représente la tension de grille  $U_g$  en fonction de la tension alternative anodique (valeur effective) au point d'allumage.

Alcance de las características de ignición determinado en gran número de válvulas medidas.

La característica de ignición representa la tensión de rejilla de mando  $U_g$  en dependencia de la tensión alterna anódica  $U_a$  (valor eficaz) en el punto de ignición.